

Comparación entre el Algoritmo Genético Simple y el Algoritmo de Optimización Inspirado en Magnetismo con Repulsión de Corto Alcance aplicados al Problema del Agente Viajero

Andrea Itzel González Vargas
Carlos Gerardo Acosta Hernández

Cómputo Evolutivo 2017-1
Facultad de Ciencias UNAM

1. Introducción

Panorama general

Para este proyecto final decidimos realizar una comparación entre el Algoritmo Genético Simple (**AGS**) y el Algoritmo de Optimización Inspirado en Magnetismo (**MOA**), con un operador enfocado a la **exploración**, propuesto en el artículo¹ que escogimos para la exposición en clase.

Como punto de referencia, elegimos implementar un programa similar al que hicimos primero para encontrar soluciones óptimas de varias instancias del Problema del Agente Viajero (**TSP**) usando el MOA. Lo anterior por nuestra experiencia previa con el desarrollo del primer proyecto², que nos sirvió de guía para llevar a cabo la construcción de nuestra propia versión de un MOA aplicado a TSP.

La idea es verificar si el MOA, siendo una propuesta reciente³ en el mundo del cómputo evolutivo, es una buena opción para resolver problemas de este tipo como ya hemos visto con el AGS y decidir si es en algún aspecto competitivo respecto a su adversario. La entrada de ambos programas es una instancia del TSP, para la que ambos algoritmos mostrarán la mejor solución encontrada en cada una de sus iteraciones.

Para manejar y procesar las instancias del TSP, proporcionadas por la colección *TSPLIB*⁴ y recopiladas en archivos individuales bajo el directorio *tsp/*, hacemos uso de una biblioteca para *Java*, llamada *TSPLIB4J*⁵.

¹Magnetic-inspired optimization algorithms: Operators and structures

²Referencia al repositorio del primer proyecto

³Propuesto por bla y bla

⁴pagina oficial

⁵referencia a su repo de github

Marco teórico

Creemos que ya no es necesario ser muy específicos respecto al AGS implementado y presentado previamente en nuestro primer proyecto, por lo que esta sección referirá únicamente al MOA.

En la teoría de los campos magnéticos, las partículas pueden atraerse o repelerse unas con otras dependiendo de su polaridad. Como muchos algoritmos en el campo de estudio de la optimización, el MOA es una propuesta inspirada en este principio observado en la naturaleza. Para este algoritmo, el conjunto de posibles soluciones son partículas con propiedades magnéticas, diseminadas en el espacio de búsqueda, donde cada partícula es capaz de incidir una sobre la otra con una fuerza de atracción de largo alcance -tal como el concepto de fuerza electromagnética.

Similar a los algoritmos de optimización por enjambre o nube de partículas (**PSO**⁶), donde los individuos buscan imitar a aquel con mayor grado de adaptación, las partículas en el MOA con mejor calificación poseen masa y campo magnético mayores, resultando en una mayor fuerza de atracción ejercida sobre las otras partículas.

Por un lado, este comportamiento cubre el concepto de explotación revisado en nuestro curso, sin embargo, el MOA cuenta además con una mejora considerable respecto a los PSO convencionales.

Es considerado una de las debilidades de los PSO, el hecho de que sólo las mejores partículas, son las que tienen una repercusión significativa sobre las demás menos adaptadas, que no tienen incidencia en otras. En este sentido, estos algoritmos dejan fuera de consideración, importante información que pueden contener las partículas con bajo grado de adaptación. Es por ello que en el esquema del MOA que revisamos, se considera la posibilidad de que todas las partículas cuenten con cierto potencial de atracción, independientemente de su grado de adaptación (aunque éste lo afecte en magnitud).

Asimismo, se incluye un operador de repulsión de corto alcance (**SRR**⁷). Este operador -que explicaremos más ampliamente en secciones posteriores-, permite que el algoritmo no se concentre únicamente en las partículas más cercanas a la solución, pues actúa como a manera de repulsión cuando la distancia entre dos partículas es menor a cierto umbral predefinido, manteniendo la diversidad y previniendo una convergencia prematura en óptimos locales.

Además del esfuerzo implementado para la optimización de “tours” en las instancias del TSP, el MOA ya ha sido puesto a prueba en varias aplicaciones de Inteligencia Artificial, como el entrenamiento de redes neuronales y ha sido propuesta ya una versión binaria del algoritmo. Las implementaciones de los MOA, resultan en un paradigma dual de interacción entre partículas con la fuerza de repulsión/atracción, que puede devenir un balance entre exploración y explotación.

Siguiendo esa línea, las virtudes que supone el esquema del MOA parecen prometedoras frente a la contraparte de este proyecto, el AGS.

⁶En inglés: Particle Swarm Optimization

⁷En inglés: Short-Range Repulsion

Herramientas

Como herramienta fundamental, proporcionamos el pseudo-código del MOA básico que no contempla más operadores que el de actualización de posición de una partícula dada su velocidad.

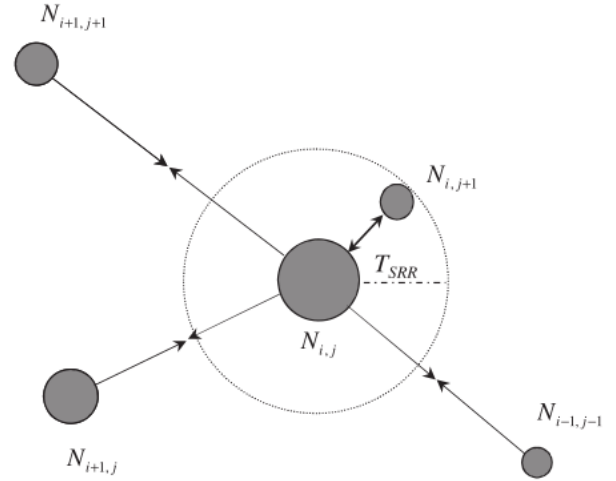
ALGORITHM 1: Magnetic-inspired Optimization Algorithm (MOA)

```

 $t \leftarrow 0$ ;  $X^t \leftarrow \text{randomValidPopulation}()$ ;
repeat
   $t \leftarrow t + 1$ ;
  for each  $x$  in  $X^t$  do
    evaluate  $x$  and store performance
    in magnetic fields  $B^t$ ;
  end
  Normalize  $B^t$ ;
  for each  $x$  in  $X^t$  do
    evaluate mass of  $x$  and store it in
     $M^t$ ;
  end
  for all  $x_{ij}^t$  in  $X^t$  do
     $F_{ij} \leftarrow 0$ ;
    find  $N_{ij}$ ;
    for each  $x_{uv}^t$  in  $N_{ij}$  do
       $F_{ij} \leftarrow F_{ij} + \frac{(x_{uv}^t - x_{ij}^t) \times B^t}{D(x_{ij}^t, x_{uv}^t)}$ ;
    end
  end
  for all  $x_{ij}^t$  in  $X^t$  do
     $v_{ij,k}^{t+1} = \frac{F_{ij,k}}{M_{ij,k}} \times R(u_k, l_k)$ ;
     $x_{ij,k}^{t+1} = x_{ij,k}^t + v_{ij,k}^{t+1}$ ;
  end
until  $t = \text{maxGen}$ ;
```

N_{ij} := Conjunto de vecinos de la partícula x_{ij} .
 F_{ij} := Fuerza de atracción ejercida sobre la partícula x_{ij} .
 $D(x_1, x_2)$:= Distancia entre x_1 y x_2 .

La figura siguiente es el esquema del operador de repulsión SRR,



En ella se puede apreciar el umbral de distancia mínima T_{SRR} , que debe existir entre partículas. Pasado el umbral, se aplica el operador de repulsión.

Más detalles sobre el diseño de la implementación se pueden encontrar en la Sección 3 y siempre se puede consultar el código fuente del proyecto en el directorio *src/*.

A partir de ahora, nos referiremos a la implementación del MOA como SRMOA, por el operador que incluye en su ejecución.

2. Planteamiento

Objetivo

Determinar si el SRMOA (Tipo III) es una opción cuyo desempeño es competente respecto al algoritmo genético simple (AGS) en la resolución del problema del agente viajero (TSP).

Hipótesis

Esperamos que ambos tengan un desempeño similar para las distintas instancias del TSP. Creemos también que conforme la dimensión de las instancias del TSP crezcan, el SRMOA tendrá una mejora significativa respecto a instancias menores y pueda superar al AGS en tales magnitudes. Respalando ésta hipótesis tenemos las conclusiones del artículo sobre el MOA que mostraba que mientras mas crecía el problema, el SRMOA mejoraba su desempeño. Mientras que por otro lado nuestras pruebas con el AGS nos hacían ver que mientras más crecía el problema, disminuía el desempeño de éste algoritmo.

Asimismo, suponemos que la implementación del SRMOA será más sencilla que la del AGS.

Metodología

Implementaremos el SRMOA y utilizaremos el AGS que previamente implementamos para el Proyecto 1. Probaremos los algoritmos con los archivos *burma14*, *ulysses16*, *gr17*, *kroA100* y *pr264*. Para cada archivo las tuplas de parámetros de las tablas siguientes un total de cinco veces. En conjunto se harán 25 corridas por algoritmo.

Los **parámetros** que se utilizarán para el **AGS** serán:

Pc	Pm
0.6	0.001

Y para el **SRMOA**:

α	ρ	T_{SRR}	C_{SRR}
100	100	1	0.1

Para ambos algoritmos, se fijará el tamaño de la **población** en 225 individuos y se establecerá 1000 como máximo número de **generaciones** (siendo este el criterio de detención de las iteraciones).

Para hacer la comparación entre ambos algoritmos graficaremos el exceso porcentual promedio de peso del mejor circuito vs el número de generaciones de cada archivo para cada algoritmo, a demás del promedio del conjunto de los cinco archivos. Compararemos también el tiempo promedio que se tardó cada algoritmo para correr cada archivo.

3. Especificación

Codificación del problema

La codificación del problema se realizó de manera similar a la codificación del AGS implementado en el primer proyecto de la materia, puesto que cada individuo contaba tanto en su fenotipo como en su genotipo, una permutación de las ciudades sin repeticiones de la instancia del TSP; el arreglo asociado, representa la ruta propuesta por el individuo.

En este caso, se trata de partículas con una ruta asociada, un vector de ciudades que determinan la posición de dicha partícula en el espacio de búsqueda y que será alterada dependiendo de la velocidad calculada por el cociente de la fuerza de atracción ejercida por sus vecinos y su masa, junto con un factor aleatorio (3).

Por ejemplo, para una partícula x con posición i, j en la estructura celular en la generación t , $x_{ij}^t = [1, 3, 2, 4, 5]$, la ruta propuesta sería: $C_1 \rightarrow C_3 \rightarrow C_2 \rightarrow C_4 \rightarrow C_5 \rightarrow C_1$, $C_i \in P$, considerando a P el conjunto de ciudades de la instancia de TSP.

Con el fin de evitar la implementación de un corrector de partículas, la generación de la población inicial aleatoria, se realizó con cuidado de asignar cada ciudad elegida aleatoriamente de P sólo una vez por individuo. Acorde a esa intención, el operador velocidad que afecta la posición de una partícula, i.e. su ruta, realiza permutaciones entre las ciudades de dicha partícula únicamente, por lo que no existe el riesgo de invalidar una propuesta de “tour” al aplicarlo.

Evaluación de la población

La evaluación de la población en un primer momento se realiza calculando el costo de la ruta propuesta por cada partícula. Tratando de seguir un desarrollo similar al que experimentamos con el AGS en el primer proyecto, efectuamos el cálculo del costo de la siguiente manera:

$$Costo(x) = d(x[0], x[n-1]) + \sum_{i=0}^{n-1} d(x[i], x[i+1]) \quad (1)$$

Donde $x[i]$ corresponde a una de las ciudades representadas por la posición de la partícula x , y n es la dimensión del espacio de búsqueda (el total de ciudades de la instancia del TSP).

Una vez obtenido el costo de todos los viajes -como vimos en el proyecto anterior, no es posible utilizar este valor como “fitness” para nuestro algoritmo de optimización, pues el objetivo es minimizar ese costo-, tal como en el AGS, decidimos considerar la función de adaptación como sigue:

$$fun(x) = (Costo_{max} + Costo_{min}) - Costo(x) \quad (2)$$

Al término el cálculo del desempeño de cada partícula, se almacena en uno de los atributos de la partícula, que corresponde a su campo magnético.

Campos magnéticos

Masa

Fuerza de atracción

Operadores

Velocidad

SRR

4. Experimentación

Con los parámetros determinados en la sección del planteamiento del proyecto (Metodología 2), en esta sección incluimos las siguientes gráficas, una por cada instancia del TSP que elegimos, para representar visualmente el exceso porcentual promedio respecto de las generaciones del total de ejecuciones realizadas sobre cada archivo. Para hacer aún más sencilla la observación comparativa, están representados con acotaciones de color ambos algoritmos.

4.1. Instancia burma14

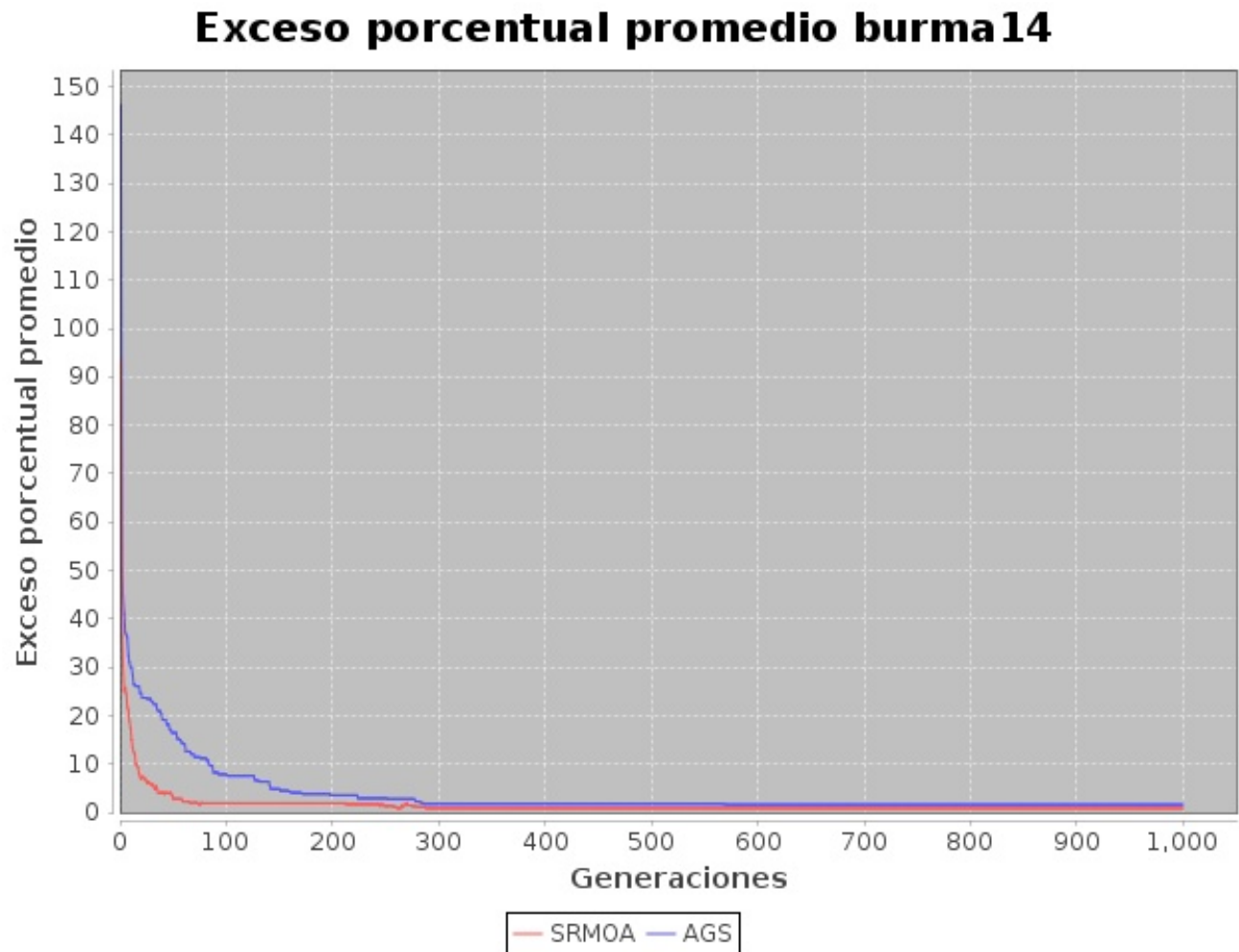


Figura 1: Exceso porcentual promedio por generación en instancia de TSP con 14 ciudades.

4.2. Instancia ulysses16

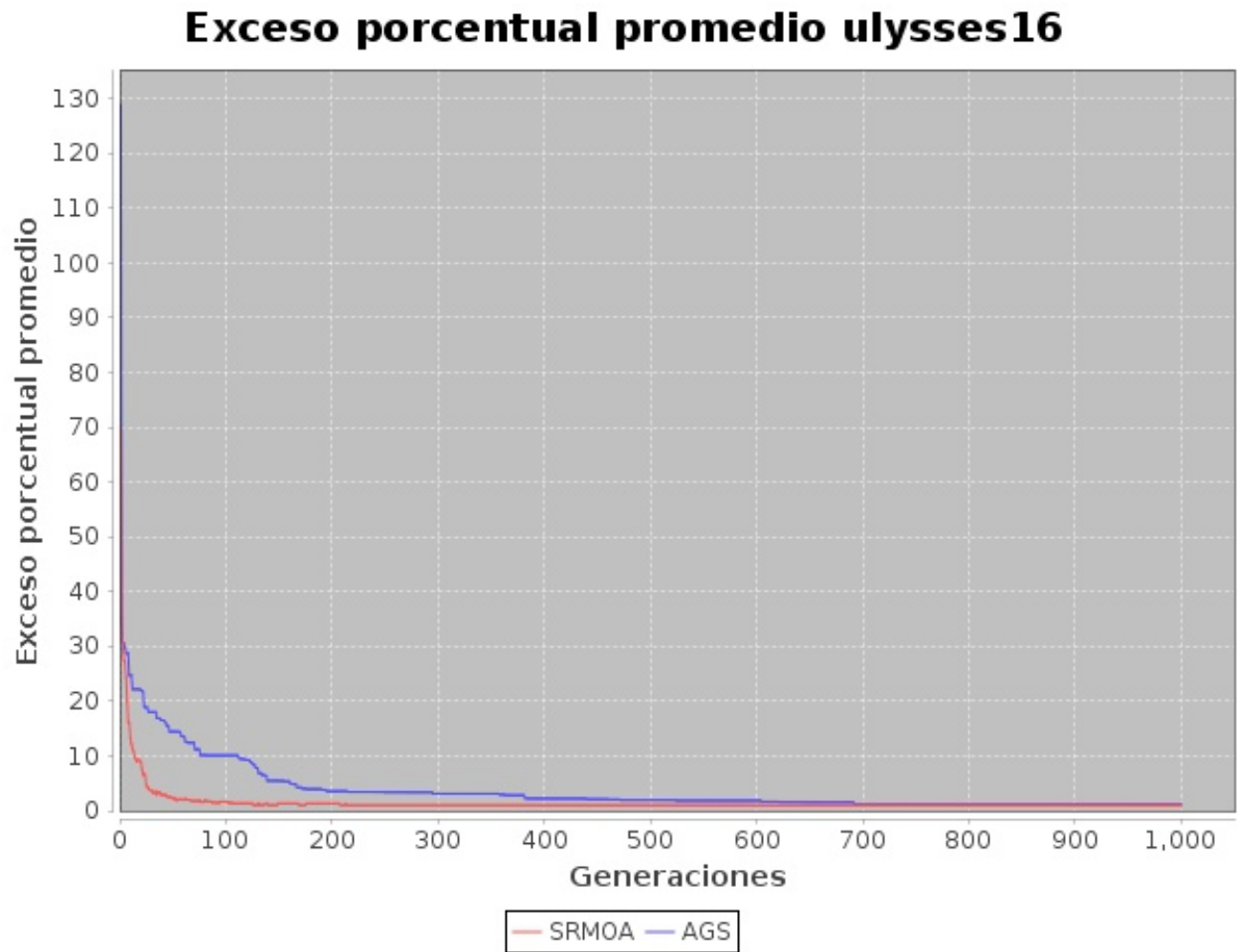


Figura 2: Exceso porcentual promedio por generación en instancia de TSP con 16 ciudades.

4.3. Instancia gr17

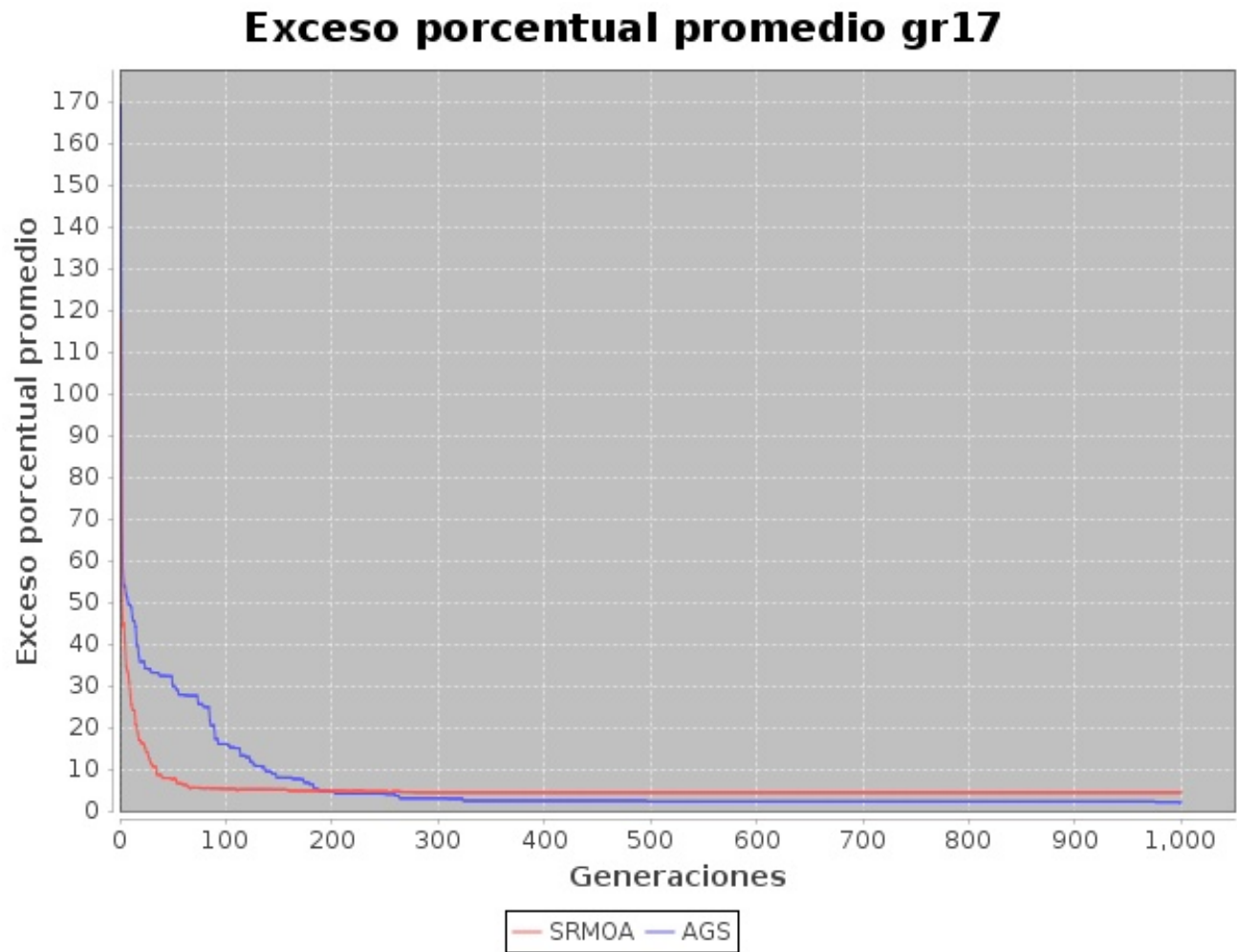


Figura 3: Exceso porcentual promedio por generación en instancia de TSP con 17 ciudades.

4.4. Instancia kroA100

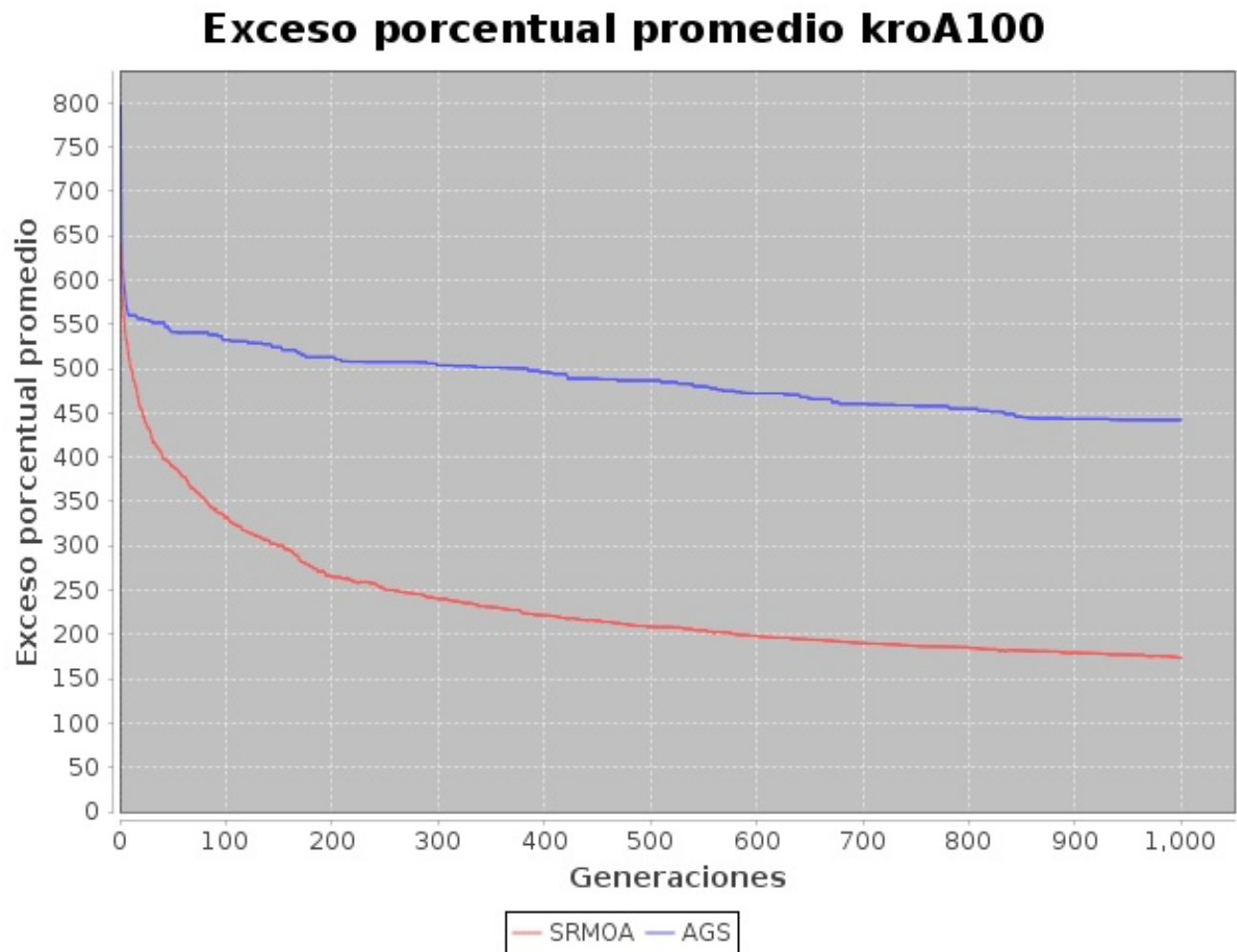


Figura 4: Exceso porcentual promedio por generación en instancia de TSP con 100 ciudades.

4.5. Instancia pr264

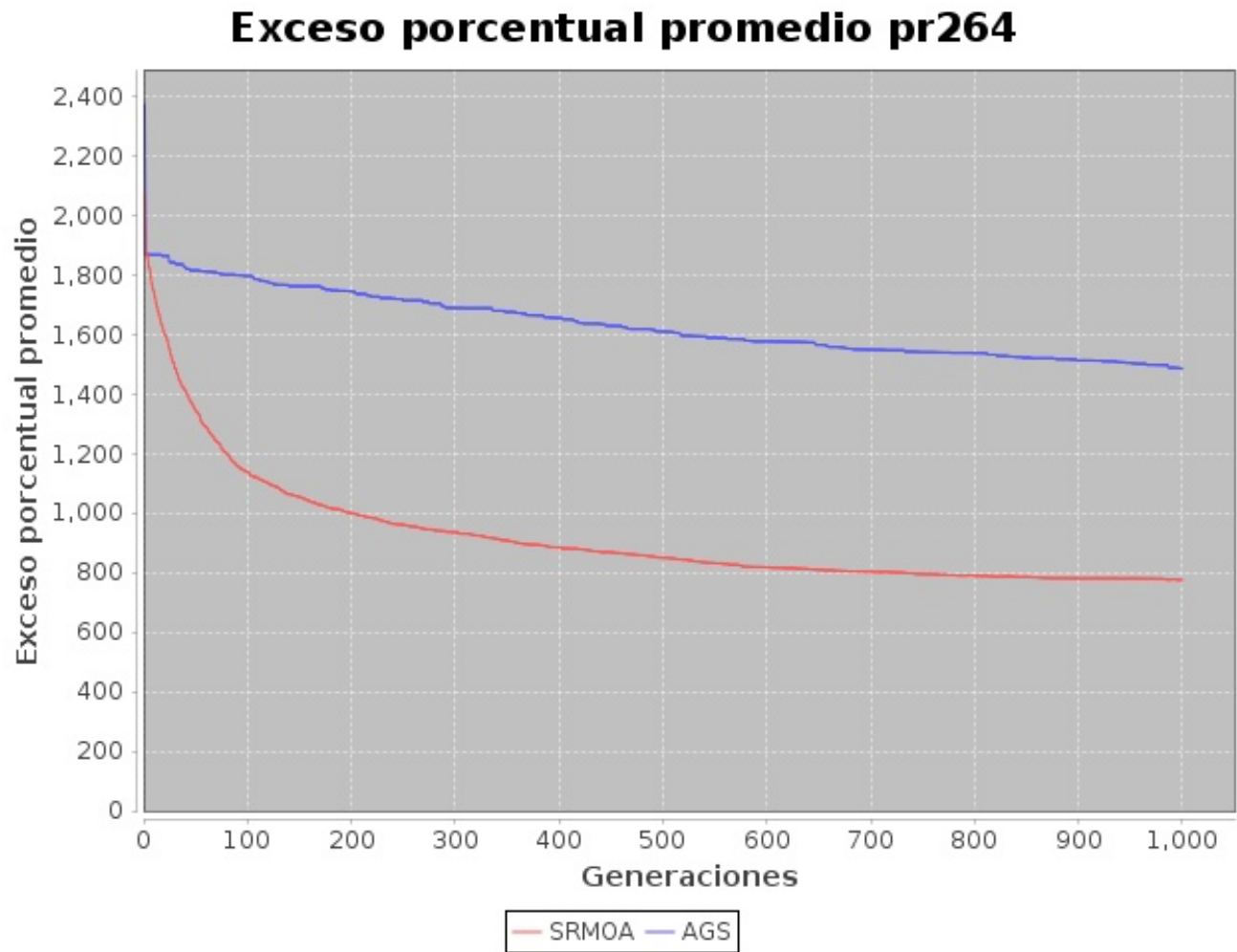


Figura 5: Exceso porcentual promedio por generación en instancia de TSP con 264 ciudades.

4.6. Total

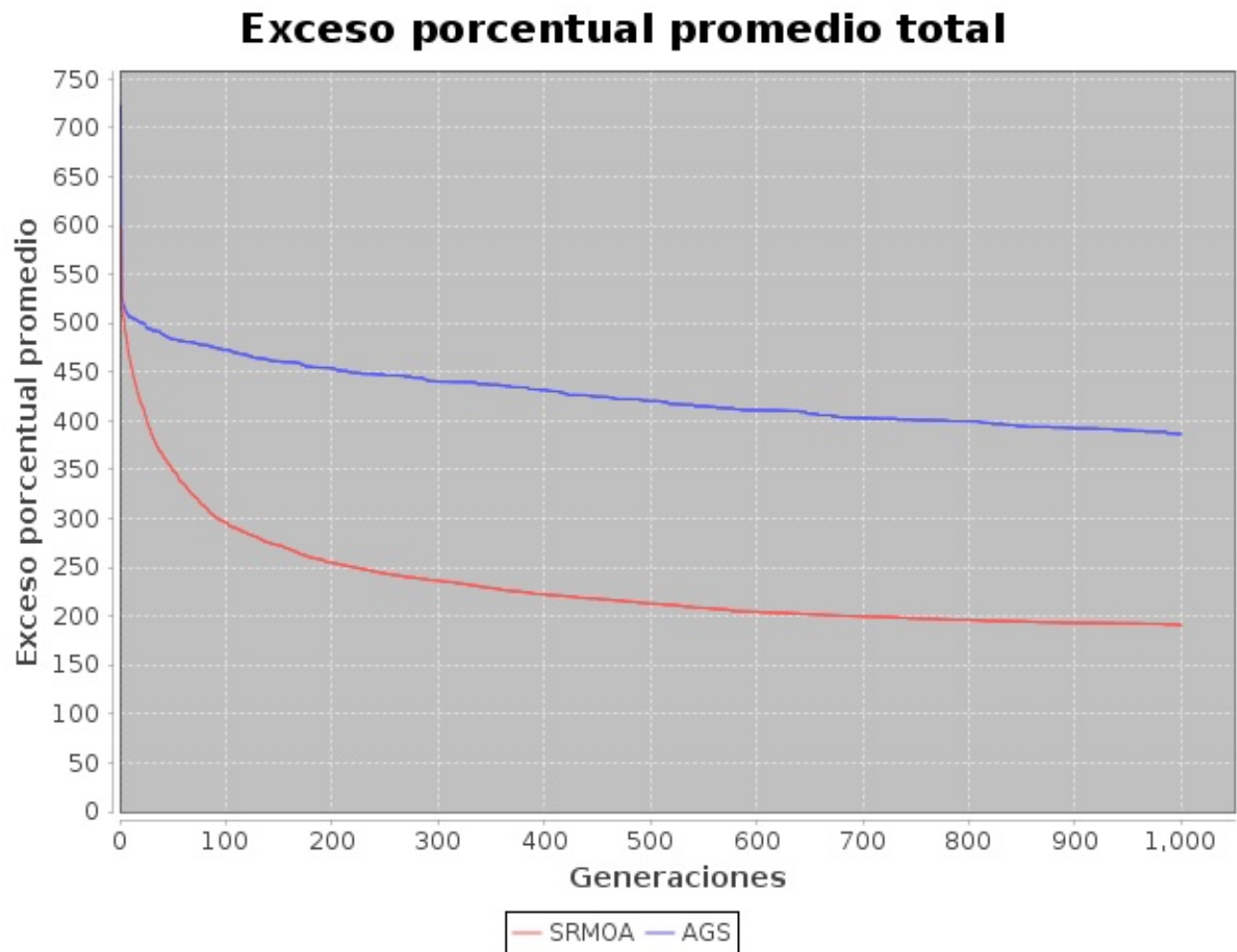


Figura 6: Exceso porcentual promedio por generación para todas las instancias de TSP escogidas (burma14, ulysses16, gr17, kroA100, pr264).

4.7. Tiempo de ejecución

Con el fin de ser más específicos respecto de la representación visual previa de la experimentación que se llevó a cabo, proporcionamos los siguientes cuadros de datos. En conjunto, forman una tabla completa de valores de exceso porcentual y tiempo de ejecución por generación en el procesamiento de cada instancia del TSP. Se contemplan en el primer cuadro, *burma14*, *ulysses16*, *gr17*, *kroA100*, *pr264*.

Cuadro 1: Exceso porcentual promedio y tiempo de ejecución por generación

Generación	burma14				ulysses16				gr17			
	SRMOA		AGS		SRMOA		AGS		SRMOA		AGS	
	Exceso %	Tiempo (s)	Exceso %	Tiempo (s)	Exceso %	Tiempo (s)	Exceso %	Tiempo (s)	Exceso %	Tiempo (s)	Exceso %	Tiempo (s)
1	93.50	0.0034	146.19	0.0182	69.89	0.0032	128.91	0.0032	117.99	0.0010	169.26	0.0010
50	2.82	0.3458	16.46	0.2032	2.38	0.3842	14.44	0.2098	7.54	0.0838	29.88	0.1044
100	1.88	0.6656	7.85	0.3990	1.58	0.7614	10.09	0.4278	5.28	0.1656	15.99	0.1944
150	1.88	0.9826	4.83	0.6004	1.31	1.1378	5.45	0.6168	5.10	0.2474	7.93	0.2876
200	1.88	1.3000	3.54	0.8102	1.31	1.5136	3.55	0.8178	4.79	0.3290	4.52	0.3798
250	1.39	1.6190	2.90	0.9868	0.99	1.8904	3.39	1.0036	4.66	0.4106	4.03	0.4652
300	0.85	1.9368	1.76	1.1594	0.99	2.2666	3.10	1.2038	4.36	0.4936	2.96	0.5478
350	0.85	2.2546	1.76	1.3646	0.99	2.6424	3.10	1.3970	4.36	0.5746	2.38	0.6684
400	0.85	2.5712	1.76	1.5266	0.99	3.0182	2.22	1.5856	4.36	0.6658	2.38	0.7786
450	0.85	2.8880	1.76	1.6884	0.99	3.3940	2.09	1.7700	4.36	0.7538	2.38	0.8808
500	0.85	3.2046	1.76	1.8606	0.99	3.7878	1.95	1.9508	4.36	0.8354	2.22	0.9812
550	0.85	3.5212	1.76	2.0224	0.99	4.1638	1.85	2.1316	4.36	0.9170	2.22	1.0768
600	0.85	3.8378	1.59	2.1810	0.99	4.5392	1.85	2.3140	4.36	0.9980	2.22	1.1714
650	0.85	4.1548	1.59	2.3378	0.99	4.9330	1.55	2.5072	4.36	1.0790	2.22	1.2732
700	0.85	4.4710	1.59	2.5034	0.99	5.3084	1.23	2.6960	4.36	1.1596	2.22	1.3606
750	0.85	4.7882	1.59	2.6880	0.99	5.6840	1.23	2.9016	4.36	1.2412	2.22	1.4518
800	0.85	5.1052	1.59	2.8474	0.99	6.0600	1.23	3.1092	4.36	1.3228	2.22	1.5438
850	0.85	5.4226	1.59	3.0052	0.99	6.4356	1.23	3.3062	4.36	1.4040	2.22	1.6290
900	0.85	5.7474	1.59	3.1816	0.99	6.8112	1.23	3.5036	4.36	1.4872	2.22	1.7130
950	0.85	6.0736	1.59	3.3486	0.99	7.1868	1.23	3.7024	4.36	1.5696	2.22	1.8182
1000	0.85	6.3904	1.59	3.5432	0.99	7.5624	1.23	3.8978	4.36	1.6516	1.96	1.9106

Cuadro 2: Exceso porcentual promedio y tiempo de ejecución por generación

Generación	kroA100				pr264				Total			
	SRMOA		AGS		SRMOA		AGS		SRMOA		AGS	
	Exceso %	Tiempo (s)	Exceso %	Tiempo (s)	Exceso %	Tiempo (s)	Exceso %	Tiempo (s)	Exceso %	Tiempo (s)	Exceso %	Tiempo (s)
1	639.55	0.0040	796.88	0.0044	2079.40	0.0078	2373.03	0.0218	600.06	0.0039	722.85	0.0097
50	390.30	1.6788	541.39	0.1890	1345.29	10.1086	1816.00	0.4350	349.67	2.5202	483.63	0.2283
100	331.52	3.3818	532.43	0.3832	1138.73	20.3458	1797.52	0.8486	295.80	5.0640	472.78	0.4506
150	299.99	5.0824	524.30	0.5742	1054.86	30.6830	1763.33	1.2424	272.63	7.6266	461.17	0.6643
200	264.98	6.7842	513.05	0.7600	1000.38	40.8878	1746.00	1.6788	254.67	10.1629	454.13	0.8893
250	251.32	8.4844	507.65	0.9336	961.16	51.2190	1715.38	2.0952	243.90	12.7247	446.67	1.0969
300	240.36	10.1868	503.81	1.1434	935.74	61.4600	1689.98	2.5344	236.46	15.2688	440.32	1.3178
350	231.01	12.3874	501.44	1.3416	908.32	71.7118	1676.69	2.9432	229.11	17.9142	437.08	1.5430
400	221.74	14.3016	496.07	1.5458	884.66	81.9812	1656.17	3.3402	222.52	20.5076	431.72	1.7554
450	215.54	16.0026	488.88	1.7366	868.81	92.3034	1629.72	3.7606	218.11	23.0684	424.97	1.9673
500	208.69	17.7026	486.69	1.9244	849.94	102.5096	1610.44	4.1588	212.97	25.6080	420.61	2.1752
550	205.02	19.4038	480.06	2.1016	831.57	112.8282	1590.01	4.5450	208.56	28.1668	415.18	2.3755
600	198.33	21.1072	472.19	2.3104	818.97	123.0452	1577.40	4.9460	204.70	30.7055	411.05	2.5846
650	194.22	22.8328	466.55	2.4882	809.98	133.2412	1565.83	5.3180	202.08	33.2482	407.55	2.7849
700	190.22	24.5404	460.37	2.6734	803.33	143.4490	1549.86	5.7156	199.95	35.7857	403.05	2.9898
750	187.11	26.2438	457.88	2.8984	795.74	153.7648	1541.38	6.0938	197.81	38.3444	400.86	3.2067
800	185.48	27.9664	454.80	3.0986	790.33	164.0196	1538.45	6.4878	196.40	40.8948	399.66	3.4174
900	179.36	31.3692	443.36	3.4708	780.48	184.3680	1513.69	7.2832	193.21	45.9566	392.41	3.8304
950	177.12	33.0692	442.28	3.6446	781.22	194.7260	1505.57	7.6670	192.91	48.5250	390.58	4.0362
1000	173.76	34.7700	442.14	3.8190	775.49	205.0244	1487.29	8.0442	191.09	51.0798	386.84	4.2430

5. Conclusiones